

УДК 532.135; 532.501.32

НЕСТАЦИОНАРНОЕ СДВИГОВОЕ ТЕЧЕНИЕ
ВЯЗКО-ПЛАСТИЧЕСКОЙ СРЕДЫ

A. M. Макаров, B. Г. Сальников

(*Москва*)

Рассмотрены задачи о нестационарном сдвиговом течении вязко-пластической среды между двумя параллельными плоскостями и в цилиндрической трубе под действием переменного во времени напряжения сдвига, приложенного к стенкам канала.

Обзор исследований по гидродинамике вязко-пластических сред (пластиков Шведова — Бингама) содержится в работах [1—5]. При анализе сдвиговых течений вязко-пластических сред наибольший интерес представляет нахождение поверхности раздела зоны вязкого течения и зоны квазиверного движения, что приводит к задачам с искомой границей для уравнения параболического типа, аналогичным задачам о промерзании [6,7].

В работе [8] для исследования нестационарных течений вязко-пластической среды, использован метод статистических испытаний (метод Монте-Карло).

Метод последовательных приближений для решения ряда задач о промерзании использован в работах [9—13].

Рассмотрим нестационарное одномерное сдвиговое течение вязко-пластической среды в плоском канале высоты $2a$ или в цилиндрической трубе с радиусом поперечного сечения a , под действием переменного во времени напряжения сдвига, приложенного к стенкам плоского канала или к стенке цилиндрической трубы.

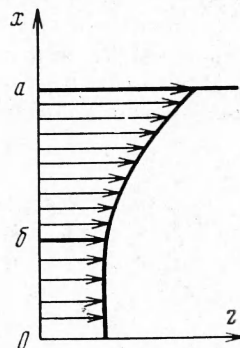
Предполагаемая картина течения и расположения системы координат приведены на фиг. 1.

Полагаем, что при $t < 0$ стенки канала ($x = \pm a$) или стенка цилиндрической трубы ($x = a$) неподвижны; движение среды начинается в момент $t = 0$ из состояния покоя; при $t > 0$ рассматриваемое течение имеет единственную, отличную от нуля компоненту скорости $u_z = u(x, t)$, а касательное напряжение сдвига τ является функцией только поперечной координаты x и времени t . Реологическое уравнение течения вязко-пластической среды (пластик Шведова — Бингама) для одномерных течений указанного типа имеет вид

$$\tau = \mu \frac{\partial u}{\partial x} + \tau_0 \operatorname{sign} \left(\frac{\partial u}{\partial x} \right) \text{ при } |\tau| \geq \tau_0 \quad (1)$$

$$\frac{\partial u}{\partial x} = 0 \text{ при } |\tau| < \tau_0 \quad (2)$$

где μ — коэффициент динамической вязкости, τ_0 — предельное касательное напряжение сдвига (реологические константы среды). Учитывая сим-



Фиг. 1

метрию плоского сдвигового течения, ниже ограничимся рассмотрением верхней половины канала $0 < x \leq a$. При этом как в плоском, так и в осесимметрическом случаях для всех значений $t > 0$ в зоне вязкого течения предполагаем выполненным условие

$$\operatorname{sign}\left(\frac{\partial u}{\partial x}\right) = 1$$

В отсутствие градиента давления и объемной плотности внешних сил с учетом сделанных выше предположений уравнение движения сплошной среды запишем в форме

$$\rho \frac{\partial u}{\partial t} = \frac{1}{x^k} \frac{\partial}{\partial x} (x^k \tau) \quad (3)$$

где ρ — плотность среды, значение $k = 1$ соответствует плоскому, а $k = 2$ — осесимметрическому случаю.

Продифференцировав уравнение (3) по переменной x , а уравнение (I) по переменной t и исключая из полученной системы выражение $\partial^2 u / \partial x \partial t$, получим

$$\frac{\rho}{\mu} \frac{\partial \tau}{\partial t} = \frac{\partial}{\partial x} \left[\frac{1}{x^k} \frac{\partial}{\partial x} (x^k \tau) \right] \quad (4)$$

Заметим, что уравнение (4) описывает изменение во времени распределения касательных напряжений сдвига в вязкой зоне течения, так как только в этой зоне имеют место выражения (1) и (3).

В силу непрерывности касательных напряжений сдвига при $x = a$ имеет место граничное условие

$$\tau(a, t) = \varphi(t) \quad (5)$$

Если $x = \delta(t)$ — уравнение границы раздела зоны пластического течения и зоны квазивердого движения, то при $x = \delta(t)$ на искомой границе должно выполняться условие

$$\tau(x, t) = \tau_0 \quad \text{при} \quad x = \delta(t) \quad (6)$$

Вследствие движения квазивердого ядра как единого целого имеем

$$\frac{1}{x^k} \frac{\partial}{\partial x} (x^k \tau) = (k+1) \frac{\tau_0}{\delta(t)} \quad \text{при} \quad x = \delta(t) \quad (7)$$

Поскольку течение развивается из состояния покоя, в котором квазивердая зона занимала всю область течения, в качестве начального условия для $\delta(t)$ имеем

$$\delta(0) = a \quad (8)$$

Выведем более подробно соотношение (7), так как пренебрежение указанным условием привело к ошибочным результатам [14, 15], для плоского случая показанным в работе [16]. Рассмотрим движение вязко-пластической среды в квазивердой зоне, для которой, учитывая реологическое уравнение в форме (2), имеем $u = u_0(t)$. При этом из уравнения движения (3) следует:

$$\frac{1}{x^k} \frac{\partial}{\partial x} (x^k \tau) = f(t), \quad 0 < x < \delta(t) \quad (9)$$

где $f(t)$ — некоторая функция, подлежащая определению.

Общее решение уравнения (9) имеет вид

$$\tau = f(t) x (k+1)^{-1} + x^{-k} C(t) \quad (10)$$

где $C(t)$ — произвольная функция. При $x \rightarrow 0$ касательные напряжения сдвига $\tau \rightarrow 0$, поэтому $C(t) = 0$. С учетом условия на искомой границе (6) из выражения (10) получим

$$\tau = \tau_0 x/\delta(t) \quad (11)$$

Соотношение (7) можно получить из выражения (11), если учесть непрерывность скорости среды и касательных напряжений сдвига при переходе через границу раздела зон $x = \delta(t)$. Введем безразмерные величины

$$\begin{aligned} x_* &= \frac{x}{a}, \quad \Delta_* = \frac{\delta}{a}, \quad \tau_* = \frac{\tau}{T}, \quad S = \frac{\tau_0}{T}, \quad t_* = \frac{\mu}{\rho a^2} t \\ \varphi_*(t_*) &= \frac{a\varphi(t)}{T} \end{aligned}$$

где T — характерное напряжение. В безразмерной форме задача (4) и (8) имеет вид

$$\frac{\partial \tau}{\partial t} = \frac{\partial}{\partial x} \left[\frac{1}{x^k} \frac{\partial}{\partial x} (x^k \tau) \right], \quad \Delta(t) < x < 1, \quad 0 < t < t_0 < \infty \quad (12)$$

$$\tau(1, t) = \varphi(t) \quad (13)$$

$$\tau(\Delta, t) = S \quad (14)$$

$$\frac{1}{x^k} \frac{\partial}{\partial x} (x^k \tau) |_{x=\Delta} = \frac{(k+1)S}{\Delta(t)} \quad (15)$$

$$\Delta(0) = 1 \quad (16)$$

Здесь и ниже опущены звездочки, отмечающие безразмерные величины.

Построим решение задачи (12)–(16). Интегрируя дважды уравнение (12) по переменной x в пределах от Δ до x и учитывая условия (15) и (14), а затем и условия (13), после несложных преобразований получим систему функциональных уравнений для определения $\tau(x, t)$ и $\Delta(t)$

$$\tau = S \frac{x}{\Delta} + \frac{1}{x^k} \int_{\Delta}^x x^k \int_{\Delta}^x \frac{\partial \tau}{\partial t} dx dx \quad (17)$$

$$\Delta = S \left[\varphi(t) - \int_{\Delta}^1 x^k \int_{\Delta}^x \frac{\partial \tau}{\partial t} dx dx \right]^{-1} \quad (18)$$

Функциональное уравнение (18) совместно с начальным условием (16) для $\Delta(t)$ накладывает следующее ограничение на функцию $\varphi(t)$:

$$\varphi(0) = S$$

Заметим, что образование зоны вязко-пластического течения возможно только при выполнении условия

$$\varphi(t) > S - \int_{\Delta}^1 x^k \int_{\Delta}^x \frac{\partial \tau}{\partial t} dx dx$$

Система функциональных уравнений (17), (18) для некоторого класса функций $\varphi(t)$ может быть решена методом последовательных приближений

$$\begin{aligned} \tau_{n+1} &= S \frac{x}{\Delta_n} + \frac{1}{x^k} \int_{\Delta_n}^x x^k \int_{\Delta_n}^x \frac{\partial \tau_n}{\partial t} dx dx \\ (19) \end{aligned}$$

$$\Delta_{n+1} = S \left[\varphi(t) - \int_{\Delta_n}^1 x^k \int_{\Delta_n}^x \frac{\partial \tau_n}{\partial t} dx dx \right]^{-1}$$

В качестве нулевого приближения принимаем

$$\tau_0 = S \frac{x}{\Delta_0}, \quad \Delta_0 = \frac{S}{\varphi(t)} \quad (20)$$

Выбор нулевого приближения в форме (20) физически соответствует случаю вязко-пластической среды с бесконечно малым значением плотности.

По итерационной схеме (19) для $k = 0, 1$ проведены вычисления нулевого, первого и второго приближений. Для получения конкретных результатов в качестве функции $\varphi(t)$ принималось следующее выражение:

$$\varphi(t) = \frac{S(1+mt)}{1+mst}$$

Функция $\varphi(t)$ удовлетворяет условиям

$$\varphi(0) = S, \quad \varphi(\infty) = 1$$

что дает возможность моделировать выход неустановившегося течения вязко-пластической среды на своеобразный «стационарный режим», при котором

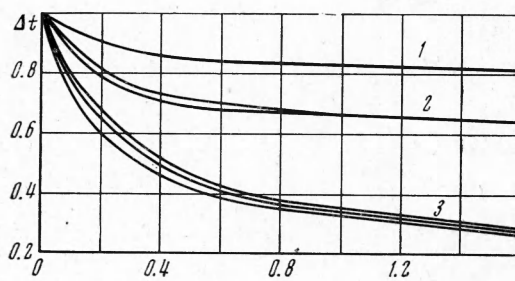
ускорения стенки канала и квазитвердого ядра течения остаются постоянными во времени. Наличие в выражении для $\varphi(t)$ параметра m дает возможность оценить влияние быстроты нарастания сдвиговых напряжений, приложенных к стенке плоского канала и к стенке цилиндрической трубы, на изменение положения границы раздела зон. Кроме того, параметр m влияет на сходимость итерационного процесса. Проведенные расчеты показывают, что сходимость предложенного итерационного процесса вполне удовлетворительна для $1 \leq m \leq 10$ и ухудшается с возрастанием m . Для значений $m > 100$ сходимость не имеет места. При изменении параметра пластичности S в пределах от 0.2 до 0.8 сходимость итерационного процесса улучшается с ростом S .

На фиг. 2 приведены результаты расчетов по итерационной схеме (19) для плоского случая, когда параметр $m = 5$ (цифры 1, 2, 3 соответствуют значениям параметра пластичности S , принимающего соответственно значения 0.8, 0.6 и 0.2). На графиках фиг. 2

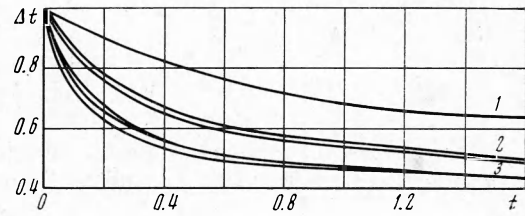
$$\Delta_0 < \Delta_2 < \Delta_1$$

На фиг. 3 показано влияние параметра m на развитие течения вязко-пластической среды в круглой трубе. Параметр пластичности $S = 0.4$ (цифры 1, 2, 3 соответствуют значениям параметра m , принимающего соответственно значения 1, 3, 7). На графиках фиг. 3

$$\Delta_0 < \Delta_2 < \Delta_1$$



Фиг. 2



Фиг. 3

Максимальное различие между вторым и первым приближениями для $\Delta(t)$ в исследованном интервале изменения времени t составило величину не более 0.07, что подтверждает применимость указанного метода для решения рассмотренной задачи.

Поступила 9 II 1972

ЛИТЕРАТУРА

1. В а л а р о в и ч М. П., М а л и н и н Н. И. Исследования в области феноменологии реологии. Инж.-физ. ж., 1969, т. 16, № 2.
2. О ги б а л о в П. М., М и р з а д ж а н з а д е А. Х. Нестационарные движения вязко-пластических сред. М., Изд. МГУ, 1970.
3. Г у р б а н о в Р. С., К а с и м о в А. Ф., М и р з а д ж а н з а д е А. Х. Гидродинамика вязко-пластических сред. Изв. АН СССР, МЖГ, 1967, № 3.
4. А б б а с о в А. А., Г а с а н о в Г. Т., Г у р б а н о в С. Г. Нестационарные движения вязко-пластических сред. III Всес. съезд по теорет. и прикл. механ., Аннот. докл., М., «Наука», 1968.
5. Г а с а н о в Г. Т., М и р з а д ж а н з а д е А. Х. Решение обратных задач нестационарного движения вязко-пластической жидкости. ПМТФ, 1962, № 5.
6. Ф р а н к Ф., М и з е с Р. Дифференциальные и интегральные уравнения математической физики. М.—Л., Главн. ред. общетехн. лит-ры, 1937.
7. П о р т н о в И. Г. Точное решение задачи о промерзании с произвольным изменением температуры на неподвижной границе. Докл. АН СССР, 1962, т. 143, № 3.
8. М а к а р о в А. М., П а в л о в К. Б., С и м х о в и ч С. Л. Применение метода Монте-Карло к решению нестационарных задач гидродинамики вязко-пластических сред. Инж.-физ. ж., 1970, т. 18, № 6.
9. S a v i n o I. M., S i e g e l R. An analytical solution for solidification of a moving warm liquid onto an isothermal cold wall. Internat. J. Heat and Mass Trans., 1969, vol. 12, No. 7.
10. М а к а р о в А. М., Леонов В. В., Д у б о в и к В. И., Ш в е д о в а Г. Н. Задача о промерзании жидкости, натекающей на плоскую стенку. Инж.-физ. ж., 1971, т. 21, № 3.
11. Л е й б е н з о н Л. С. Руководство по нефтепромысловому механику, ч. 1. М.—Л., Гостехиздат, 1931.
12. E v a n s G. W. II, I s a a k s o n E., M a c D o n a l d I. K. L. Stefan — like problems. Quart. Appl. Math., 1950, vol. 8, No. 3.
13. E v a n s G W. II. A note on the existence of a solution to a problem of stefan. Quart. Appl. Math., 1951, vol. 9, No. 2.
14. B r i n k m a n n A. Die Anlaufströmung eines Bingham'schen Stoffes zwischen zwei parallelen Wänden. Z. angew. Math. und Phys., 1966, Bd 17, H. 6.
15. A t a b e k H. B. Start—up flow of a Bingham plastic in a circular tube. Z. angew. Math. und Mech., 1964, Bd 44, H. 7.
16. М а к а р о в А. М. О применении метода интегрального преобразования Лапласа — Карсона в теории нестационарных течений вязко-пластической среды. Инж.-физ. ж., 1970, т. 19, № 1.